

## รายการอ้างอิง

- 1.Appleby, A.J., and Foulkes, F.R. Fuel cell Handbook. New York: Van Nostrand Reinhold, 1989.
- 2.Noh, J., Yang, O.B., Kim, D.H., and Woo, S.I. "Characteristics of the Pd-only three-way catalysts prepared by sol-gel method." Catalysis Today. 1999; 53, 75.
- 3.Alessandro, T., Carla, L., Marta, B., and Giuliano, D. "The utilization of ceria in industrial catalysis." Catalysis Today. 1999; 50, 353.
- 4.Purcell, K. Chemistry and Chemical Reactivity. New York: Academic Press.1997.
- 5.วิทยา เรืองพรวิสุทธิ์. คตตะไลซ์แบบเขตเทอร์จีเนียส : หลักทฤษฎีและการประยุกต์. กรุงเทพฯ: ภาควิชาเคมีเทคนิค คณะวิทยาศาสตร์ จุฬาลงกรณ์มหาวิทยาลัย, 2534.
- 6.วีระศักดิ์ อุดมกิตติเดชา. เครื่องมือวิจัยทางวัสดุ: ทฤษฎีและการทำงานเบื้องต้น. กรุงเทพฯ: สถาบันวิจัยโลหะวัสดุ จุฬาลงกรณ์มหาวิทยาลัย, 2543.
- 7.Manasip, A., and Gulari, E. "Selective CO oxidation over Pt/alumina catalysts for fuel cell application." Journal of Applied Catalysis. 2001; 37, 17.
- 8.Son, I.H., Shamsuzzoha, M., and Lane, A.M. "Promotion of Pt/ $\gamma$ -Al<sub>2</sub>O<sub>3</sub> by new pretreatment for low-temperature preferential oxidation of CO in H<sub>2</sub> for PEM fuel cells." Journal of Catalysis. 2002; 210, 460.
- 9.Watanabe, M., Uchida, H., Ohkubo, K., and Igarashi, H. "Hydrogen purification for fuel cells: selective oxidation of carbon monoxide on Pt-Fe/mordenite catalysts." Journal of Applied Catalysis. 2003; 46, 595.
- 10.Luengnaruemitchai, A., Osuwan, S., and Gulari, E. "Selective catalytic oxidation of CO in the presence of H<sub>2</sub> over gold catalyst." Journal of Hydrogen Energy. 2004; 29, 429.
- 11.Rosso, I., Galletti, C., Saracco, G., Garrone, E., and Specchia V. "Development of A zeolites-supported noble-metal catalysts for CO preferential oxidation: H<sub>2</sub> gas purification for fuel cell." Applied Catalysis B: Environmental. 2004; 48, 195.
- 12.Panzera, G., Modafferi, V., Candamano, S., Donato, A., Frusteri, F., and Antonucci, P.L. "CO selective oxidation on ceria-supported Au catalysts for fuel cell application." Journal of Power Sources. 2004; 135, 177.

- 13.Khumvilaisak, K. Selective Co oxidation in the presence of hydrogen for fuel cell applications. M.S.Thesis, Petroleum and Petrochemical College, Chulalongkorn university, 2001.
- 14.Son, I.H., Lane, A.M., and Johnson, D.T. "The study of deactivation of water-pretreated Pt/ $\gamma$ -Al<sub>2</sub>O<sub>3</sub> for low-temperature selective CO oxidation in hydrogen." Journal of Power Sources. 2004; 124, 415.
- 15.[www.fuelcellsworks.com](http://www.fuelcellsworks.com)
- 16.[www.staff.ncl.ac.uk](http://www.staff.ncl.ac.uk)



ศูนย์วิทยทรัพยากร  
จุฬาลงกรณ์มหาวิทยาลัย

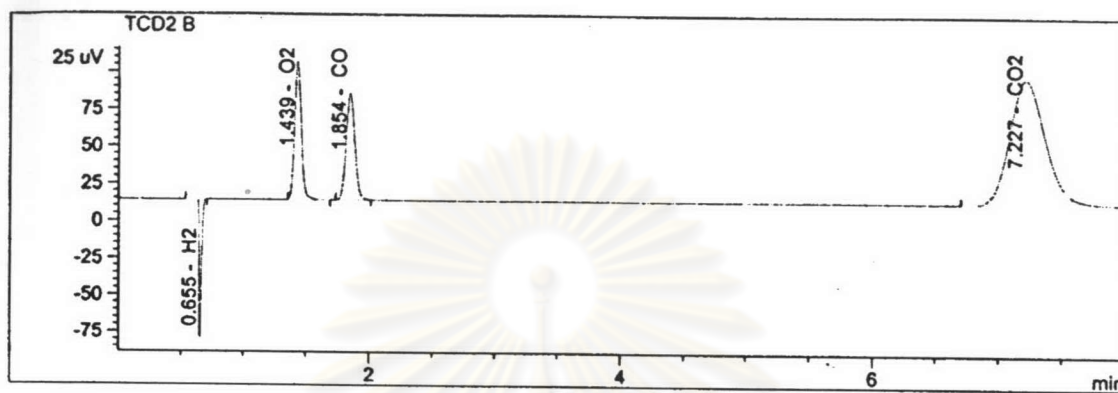
ภาคผนวก

ศูนย์วิทยทรัพยากร  
จุฬาลงกรณ์มหาวิทยาลัย

## ภาคผนวก ก

### ข้อมูลการทดลองและตัวอย่างการคำนวณ

ผลวิเคราะห์ที่ได้จากแก๊สโครมาโทกราฟ เมื่อพิจารณาแก๊สเข้าเข้า



รูปที่ ก1 ปริมาณแก๊สเข้าเข้า

เมื่อพิจารณาแก๊สเข้าออก ที่อุณหภูมิ 110 องศาเซลเซียส



รูปที่ ก2 ปริมาณแก๊สเข้าออก

ตารางที่ ก1 ปริมาณแก๊สเข้าเข้าและเข้าออกในเครื่องปฏิกรณ์

แก๊ส	ปริมาณแก๊สเข้าเข้า(ppm)	ปริมาณแก๊สเข้าออก (ppm)
H <sub>2</sub>	$3.837 \times 10^5$	$3.818 \times 10^5$
O <sub>2</sub>	$9.519 \times 10^3$	$2.969 \times 10^3$
CO	$9.481 \times 10^3$	$2.275 \times 10^3$
CO <sub>2</sub>	$3.911 \times 10^4$	$4.631 \times 10^4$

## สูตรการคำนวณ

$$\% \text{CO Conversion} = \frac{[CO]_0 - [CO]}{[CO]_0} \times 100$$

$$\% \text{ Selectivity} = \frac{[O_2]_{CO_{oxi}} n}{[O_2]_{CO_{oxi}} n + [O_2]_{H_2oxi} n} \times 100$$

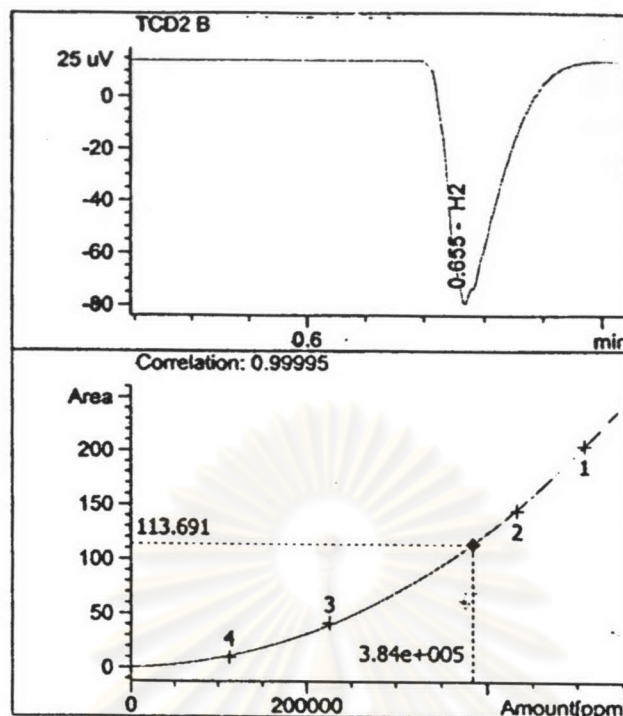
$[CO]_0$	= ปริมาณแก๊สคาร์บอนมอนออกไซด์เข้า
$[CO]$	= ปริมาณแก๊สคาร์บอนมอนออกไซด์เข้า
$[O_2]_{CO_{oxi}}^n$	= ปริมาณแก๊สออกซิเจนที่เกิดปฏิกิริยาออกซิเดชันของแก๊สคาร์บอนมอนออกไซด์
$[O_2]_{H_2oxi}^n$	= ปริมาณแก๊สออกซิเจนที่เกิดปฏิกิริยาออกซิเดชันของแก๊สไฮโดรเจน
$[CO]_0$	$= 9.481 \times 10^3$
$[CO]$	$= 2.275 \times 10^3$
$[O_2]_{CO_{oxi}}^n$	$= 0.5( [CO]_0 - [CO] ) ; 0.5(9.481 \times 10^3 - 2.275 \times 10^3) = 3.603 \times 10^3$
$[O_2]_{H_2oxi}^n$	$+ [O_2]_{CO_{oxi}}^n = (O_{2in} - O_{2out}) ; (9.519 \times 10^3 - 2.969 \times 10^3) = 6.550 \times 10^3$

$$\% \text{CO Conversion} = \frac{9.481 \times 10^3 - 2.275 \times 10^3}{9.481 \times 10^3} \times 100$$

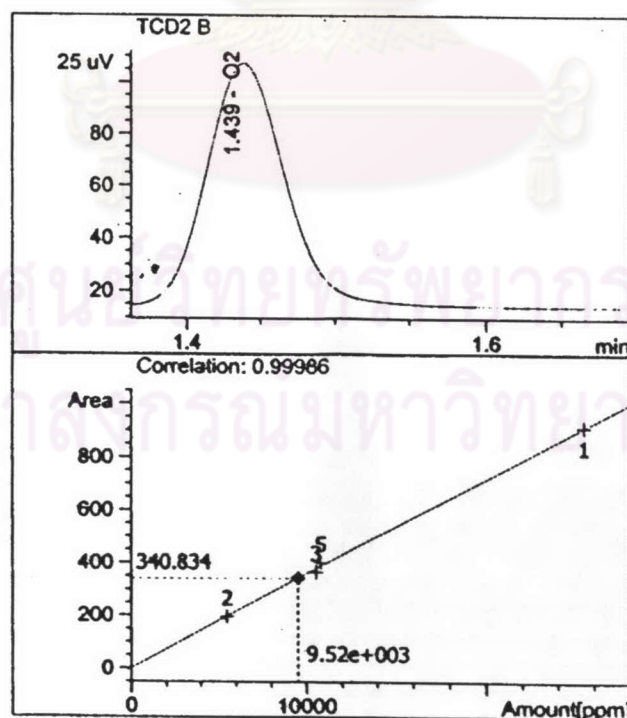
$$\% \text{CO Conversion} = 76\%$$

$$\% \text{ Selectivity} = \frac{3.603 \times 10^3}{6.550 \times 10^3} \times 100$$

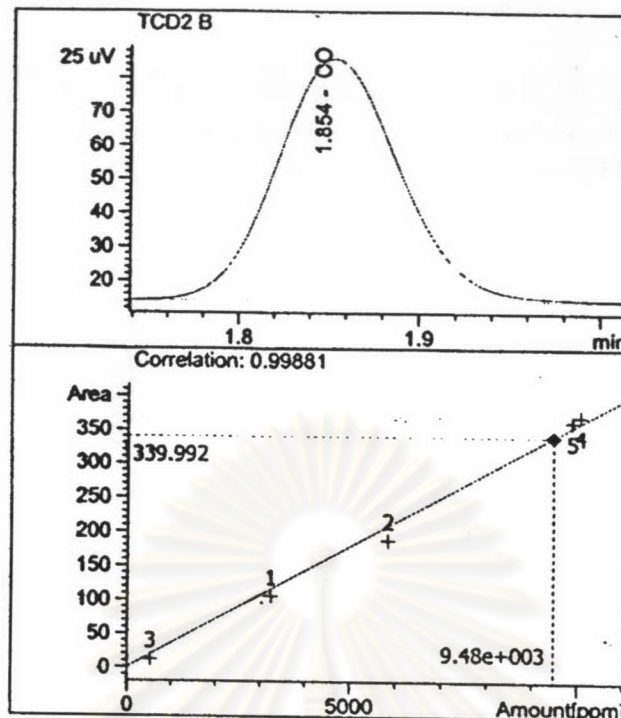
$$\% \text{ Selectivity} = 55\%$$



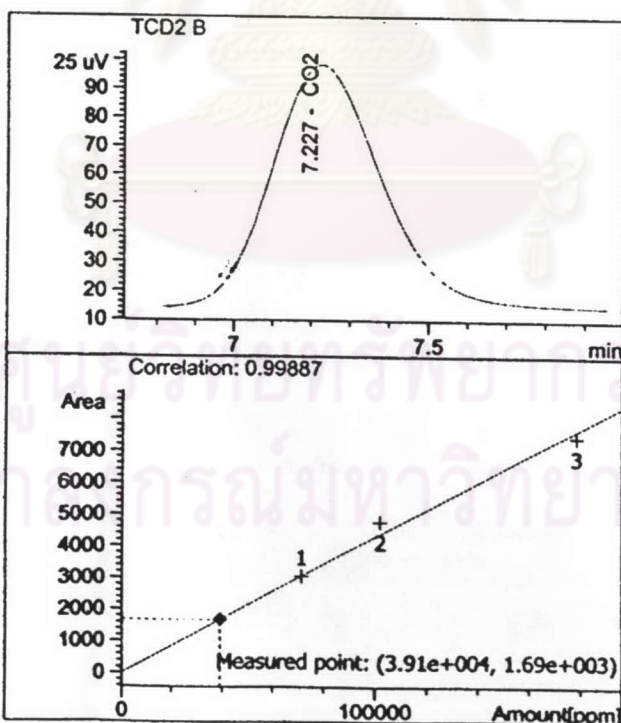
รูปที่ ก3 Calibration curve ของ  $\text{H}_2$



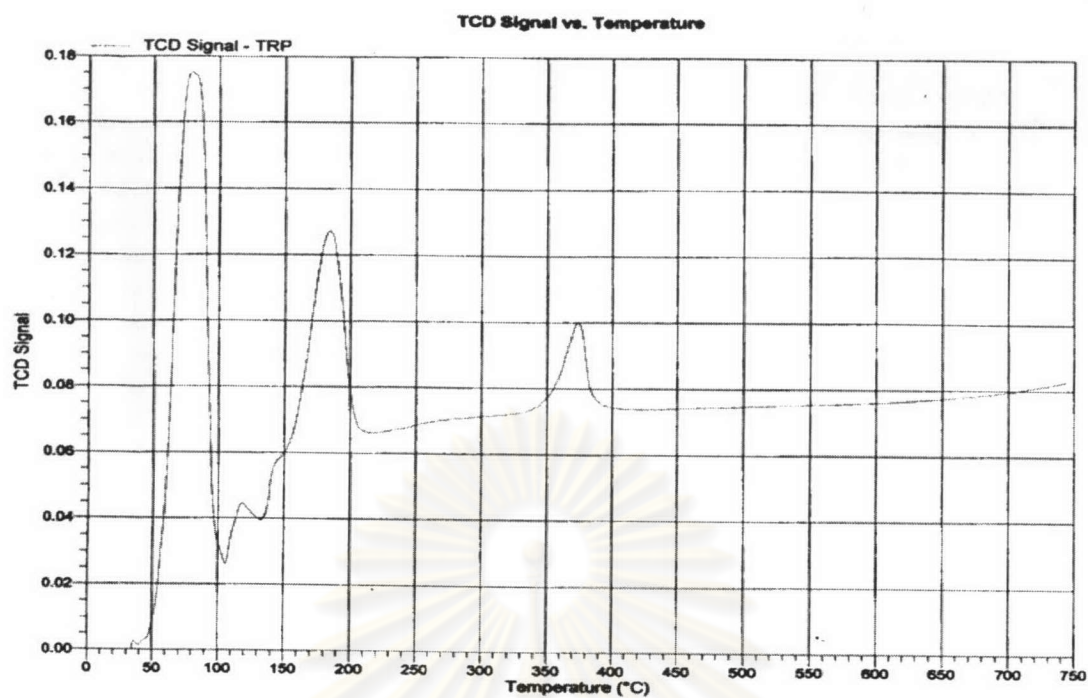
รูปที่ ก4 Calibration curve ของ  $\text{O}_2$



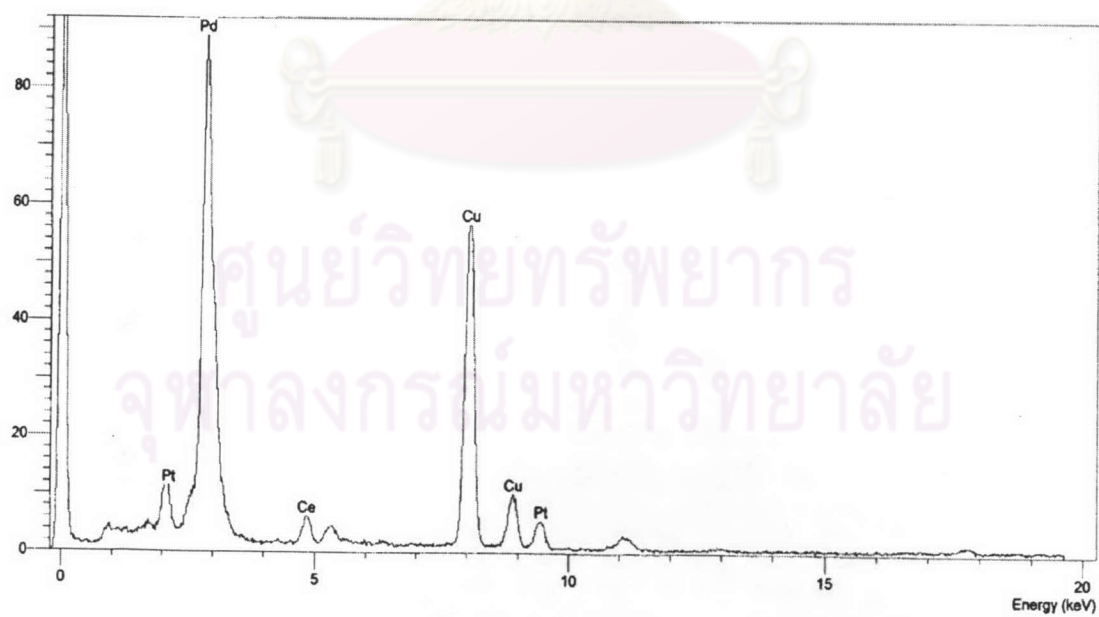
รูปที่ ก5 Calibration curve ของ CO



รูปที่ ก6 Calibration curve ของ CO<sub>2</sub>



รูปที่ ก7 TPR ของ 1% (1:1) Pt-Pd/CeO<sub>2</sub>



รูปที่ ก8 EDS ของ 1% (1:7) Pt-Pd/CeO<sub>2</sub>

## ประวัติผู้เขียนวิทยานิพนธ์

นายอภิชาต บริญญาสวรรค์ เกิดเมื่อวันที่ 23 ธันวาคม พ.ศ. 2522 ที่ กรุงเทพมหานคร สำเร็จการศึกษาระดับปริญญาตรี วิทยาศาสตรบัณฑิต ภาควิชาเคมีเทคนิค สาขาวิศวกรรมคณวิทยาศาสตร์ จุฬาลงกรณ์มหาวิทยาลัย 2545 และเข้าศึกษาต่อหลักสูตรวิทยาศาสตรบัณฑิต จุฬาลงกรณ์มหาวิทยาลัย เมื่อ พ.ศ. 2546

